А А БАБЛОЯН, В. С. ТОНОЯН

О ВДАВЛИВАНИИ КОЛЬЦЕВОГО ШТАМПА В УПРУГОЕ ПОЛУПРОСТРАНСТВО

Задача о даплении кольценого штампа в упругое полупространство рассматривалась и работах [1—6]. Однако, в работах [1—3] результаты получены и форме, мало пригодной для практического применения.

Приближенное решение рассматринаемой задачи было предложено К. Е. Егоровым [4] и З. Олесяком [5].

В работе [6] при помощи цилиндрической системы координат решение указанной задачи (когда штами имеет плоское основание) сведено к "тройным" интегральным уравнениям. Решение "тройных" интегральных уравнений обоими способами, принеденными в этой работе, для более общего случая подробно исследовано и работах Дж. К. Кука [7, 8].

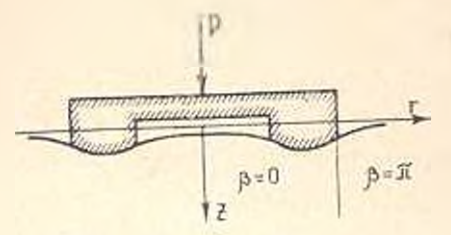
В настоящей статье рассмотрена задача о давлении жесткого штамиа, имеющего в плане форму кругового концентрического кольца, на упругое полупространство. Предполагается, что трение между штампом и полупространством отсутствует. Для простоты принимается также, что граница полупространства вне штампа свободна от янешних уснлий.

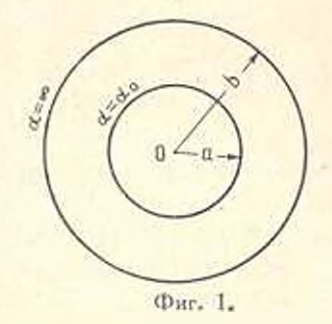
Задача решается в тороидальной системе координат [9]. Решение представлено в виде интеграла по присоединенным сферическим функциям Р (ch z). Определение коэффициентов интегриронация сведено к решению "парных" интегральных уранневий по функциям Лежандра с комплексным индексом действительного аргумента [10—13]. Решение этих "парных" интегральных уранневий сводится к решению интегрального уранневия Фредгольма второго рода.

В частности, получено решение задачи о вдавлинании круглого в плане жесткого штамна на упругое полупространство, рассматр изавшееся и работах многих авторов. В качестве примера решена задача о данлении жесткого кольцевого штамна с плоским основанием на упругое полупространство. Приведен численный пример.

§ 1. Риссмотрим ладачу о давлении кольценого в плане жесткого штампа с произвольной формой основания на упругое наотропное полупространство (фиг. 1). На штамп действует нертикальная сила, направленная по оси симметрии. Для простоты предполагается, чт о ние штампа поверхность полупространства свободна от напряжений,

а силы трения между штампом и упругим полупространством отсутствуют. Граничные условия при z=0 для рассматриваемой контактной задачи имеют следующий пид:





$$u_z(r, 0) = 0$$
 $0 < r < a$
 $u_z(r, 0) = g(r)$ $a < r < b$ (1.1)
 $u_z(r, 0) = 0$ $b < r < a$
 $u_z(r, 0) = 0$ $0 < r < a$ (1.2)

 $(r, \Rightarrow z - \underline{u}$ илиндрические координаты).

Здесь c_1 и c_2 — соответственно пормальные и касательные напряжения, c_2 — проекция вектора перемещения на ось c_2 .

Для сведения рассматриваемой задачи к краевым задачам теории упругости, используем представление упругих смещений и напряженеез две гармонические функции

ний, в осесимметричном случае, Папковича-Нейбера [9]

$$2Gu_{r} = -\frac{\partial f}{\partial r} - z\frac{\partial \Phi}{\partial r}, \quad 2Gu_{z} = (3 - 4v)\Phi - \frac{\partial f}{\partial z} = \frac{\partial \Phi}{\partial z}$$

$$= 2(1 - v)\frac{\partial \Phi}{\partial z} - \frac{\partial f}{\partial z} = z\frac{\partial \Phi}{\partial z}$$

$$= -\frac{\partial}{\partial r} \left[(1 - 2v)\Phi - \frac{\partial f}{\partial z} - z\frac{\partial \Phi}{\partial z} \right] \qquad (1.3)$$

$$= 2v\frac{\partial \Phi}{\partial z} - \frac{\partial^{2} f}{\partial r^{z}} - z\frac{\partial^{2} \Phi}{\partial r^{z}}, \quad 2v\frac{\partial \Phi}{\partial z} - \frac{1}{r}\frac{\partial f}{\partial r} - \frac{z}{r}\frac{\partial \Phi}{\partial r}$$

(G модуль сдвига, v коэффициент Пуассона). Для гармонической функции

$$\Psi = (1 - 2\nu) \Phi - \frac{\partial f}{\partial z} \tag{1.4}$$

из граничного условия (1.2) сразу находим ${}^{1}V=0$ ° и остается найти гармоническую в полупространстве z>0 функцию, удовлетноряющую смешаниым граничным условиям (1.1) при z=0.

Исключая веперь с помощью (1.4) одну из двух функций Папковича-Нейбера (например, f), находим из (1.1), что гармоническая

^{*} Если вместо условии (1.2) было бы (r,0) (r,0) го функцию (r,0) можно было бы считать извостной из решения задачи. Дирихле для полупространства.

функция $\Phi(r,z)$ должна удовлетворять следующим смешанным красвым условиям на границе полупространства:

$$\frac{\partial \Phi}{\partial z}\Big|_{z=0} = 0 \qquad 0 \leqslant r \leqslant a$$

$$\Phi\Big|_{z=0} = \frac{G}{1-\gamma}g(r) \qquad \alpha \leqslant r \leqslant b \qquad (1.5)$$

$$\frac{\partial \Phi}{\partial z}\Big|_{z=0} = 0 \qquad b \leqslant r \leqslant \infty$$

Вводя торондальные координаты (а, 3) соотношениями [9]

$$z = \frac{b \sin \alpha}{\cosh^2 + \cos^2} \qquad z = \frac{b \sin \beta}{\cosh^2 + \cos^2} \tag{1.6}$$

и учитывая, что

$$\frac{\partial \Phi}{\partial z}\Big|_{3=0} = \frac{\cosh z + 1}{b} \frac{\partial \Phi}{\partial \beta}\Big|_{\beta=0}, \quad \frac{\partial \Phi}{\partial z}\Big|_{\beta=0} = \frac{\cosh z - 1}{b} \frac{\partial \Phi}{\partial \beta}\Big|_{z=0}$$
(1.7)

можно переписать условия (1.5) в виде

$$\frac{\partial \Phi}{\partial \beta} \Big|_{\beta=0} = 0 \quad 0 \leqslant \alpha < \alpha_0$$

$$\Phi \Big|_{\alpha=0} = \frac{G}{1-\alpha} g(\alpha) \quad \text{(1.8)}$$

$$\frac{\partial \Phi}{\partial B} = 0 \quad 0 < \alpha < \infty \tag{1.9}$$

rge th $\frac{a}{2} = a/b$.

В тороидальной системе координат $\Phi(a,\beta)$ удовлетворяет следующему уравнению:

$$\frac{\partial}{\partial a} \left(\frac{\sinh a}{\cosh a + \cos b} \frac{\partial \Phi}{\partial a} \right) + \frac{\partial}{\partial b} \left(\frac{\sinh a}{\cosh a + \cos b} \frac{\partial \Phi}{\partial b} \right) = 0$$
 (1.10)

Решение уравнения (1.10), ограниченные при $z \to 0$ и $z \to \infty$, ищем в виде

$$\Phi(\alpha, \beta) = \frac{G}{1 - \nu} V \frac{\cosh \alpha + \cos \beta}{\cosh \alpha + \cos \beta} \int_{0}^{\pi} [A(\tau) \cosh \beta \tau + B(\tau) \sinh \beta \tau] P_{-1} \dots (\cosh \alpha) d\tau$$
(1.11)

где P. (ch a) — функция Лежандра первого рода.

Удовлетворяя граничным условиям (1.9) и используя преобразования Мелера-Фока, получим

$$A(z) \sinh \pi z + B(z) \cosh \pi z = 0 \tag{1.12}$$

Искаючая $B(\tau)$ из уравнений (1.11) и (1.12), найдем

$$\Phi(x, \beta) = \frac{G}{1-v} \prod_{\alpha} \frac{\cosh \alpha + \cos \beta}{\cosh \alpha} \int_{0}^{\infty} A(z) \frac{\cosh (z-\beta)}{\cosh \alpha z} P_{\frac{1}{2}+iz}(\cosh \alpha) dz$$
 (1.13)

Удовлетворяя теперь граничным условиям (1.8), для определения функции A (τ) получим следующие "парные" интегральные уравнения:

$$\int \tau \operatorname{th} = A(\tau) P_{-1, t}(\operatorname{ch} \alpha) d\tau = 0 \qquad 0 \leqslant \alpha \leqslant \alpha_0$$

$$\int_0^t A(\tau) P_{-\frac{1}{2} + f\tau}(\operatorname{ch} \alpha) d\tau = \frac{g(\tau)}{|V| \operatorname{ch} \alpha + 1} \qquad \alpha_0 = \alpha \leqslant \infty$$
(1.14)

"Париме" интегральные ураниения типа (1.14) рассматринались в работах [10—12]. Однако, ураниения (1.14) по сноей структуре несколько отличаются от ураниений, рассмотренных в работах [10—12].

§ 2. Для решения уравнений (1.14) поступим следующим образом. Имея в ниду, что

$$\frac{1}{\sqrt{2(\cosh \alpha + 1)}} = \int_{0}^{1} \frac{1}{\cosh - \alpha} P_{-1 + i\pi}(\cosh \alpha) d\pi$$
 (2.1)

а полагая $A(\tau) = \{ 2g(\infty) \text{ ch } \pi\tau = \text{th } \pi\tau C(\tau), \text{ приходим } \kappa \text{ уравнениям} \}$

$$\int zC(z)[1 + N(z)]P_{-1-i}(\cosh z)dz = f_1(z) \quad 0 \le z < z_0$$

$$\int_{0}^{\infty} C(z) \cosh z = P_{-i}(\cosh z)dz \quad f_2(z) \quad z_0 \le z < \infty$$
(2.2)

Здесь

$$f_1(z) = -\sqrt{2} g(\infty) \int \frac{\sinh \pi}{\cosh \pi} P_{-1-i\tau}(\cosh z) dz = -\frac{g(\infty)}{2 \cosh \frac{\pi}{2}}$$

$$f_2(z) = \frac{g(z) - g(\infty)}{1 + 2 \cosh \frac{\pi}{2}} \qquad N(z) = -\frac{1}{\cosh^2 \pi}.$$
(2.3)

Решение парных уравнений (2.2) предстаним в ниде

$$\frac{\pi}{2} \circ C(\circ) = \circ \int_0^{\pi} G_1(s) \sin^2 s ds = \circ \int_0^{\pi} H'(s) \sin^2 s ds = - G_1(a_0) \cos^2 a_0 + \circ \int_0^{\pi} G_1(s) \sin^2 s ds = - G_1(a_0) \cos^2 a_0 + \circ \int_0^{\pi} G_1(s) \sin^2 s ds = - G_1(a_0) \cos^2 a_0 + \circ \int_0^{\pi} G_1(s) \sin^2 s ds = - G_1(a_0) \cos^2 a_0 + \circ \int_0^{\pi} G_1(s) \sin^2 s ds = - G_1(a_0) \cos^2 a_0 + \circ \int_0^{\pi} G_1(s) \sin^2 s ds = - G_1(a_0) \cos^2 a_0 + \circ \int_0^{\pi} G_1(s) \sin^2 s ds = - G_1(a_0) \cos^2 a_0 + \circ \int_0^{\pi} G_1(s) \sin^2 s ds = - G_1(a_0) \cos^2 a_0 + \circ \int_0^{\pi} G_1(s) \sin^2 s ds = - G_1(a_0) \cos^2 a_0 + \circ \int_0^{\pi} G_1(s) \sin^2 s ds = - G_1(a_0) \cos^2 a_0 + \circ \int_0^{\pi} G_1(s) \sin^2 s ds = - G_1(a_0) \cos^2 a_0 + \circ \int_0^{\pi} G_1(s) \sin^2 s ds = - G_1(a_0) \cos^2 a_0 + \circ \int_0^{\pi} G_1(s) \sin^2 s ds = - G_1(a_0) \cos^2 a_0 + \circ \int_0^{\pi} G_1(s) \sin^2 s ds = - G_1(a_0) \cos^2 s ds = - G_1(a_0) \cos^2$$

$$+ \int_{a_0}^{a_0} G(s) \cos^{-s} s ds \qquad \qquad (2.4)$$

гле

$$G_{1}(s) = \int G(s) ds, \qquad G_{1}(s) = G(s)$$

$$H(s) = \int \frac{f_{2}(a) \sin a da}{\int \cosh a - \cosh s}$$
(2.5)

G(s) пока неизвестная функция.

Тогда, учитыная значения интеграла

$$\int th = P_{-\frac{1}{2}} + \tau (ch \alpha) \sin \alpha s ds = \begin{cases} [2 (ch s - ch \alpha)]^{-n} & (0 < \alpha < s) \\ 0 & (0 < s < \alpha) \end{cases}$$
 (2.6)

и пользуясь преобразованием Абеля, получим, что второе уравнение (2.2) удовлетворяется тождественно.

Пользуясь формулами

$$\int_{-1}^{P} (\cosh \alpha) \cos s \, ds = \left[\frac{[2 (\cosh \alpha - \cosh s)]^{-1}}{0} \quad (0 < s < \alpha) \\ (0 < \alpha < s) \right]$$
 (2.7)

и (2.4), для первого интеграла (2.2) найдем выражение

$$\int_{0}^{\pi} C(\tau) [1 + N(\tau)] P_{-1-t} (\operatorname{ch} \alpha) d\tau =$$

$$-\frac{\sqrt{2}}{\pi} G_{1}(\tau_{0}) \int_{0}^{\pi} N(\tau) P_{-1-t} (\operatorname{ch} \alpha) \cos \alpha_{0} \tau d\tau + \frac{1}{\pi} \int_{0}^{t} \frac{G(s) ds}{\sqrt{\operatorname{ch} \alpha - \operatorname{ch} s}} +$$

$$+\frac{\sqrt{2}}{\pi} \int_{0}^{\pi} G(s) ds \int_{0}^{\pi} N(\tau) P_{-1-t} (\operatorname{ch} \alpha) \cos \tau s d\tau -$$

$$= \frac{\sqrt{2}}{\pi} \int_{0}^{\pi} H''(s) ds \int_{0}^{\pi} N(\tau) P_{-1-t} (\operatorname{ch} \alpha) \cos \tau s d\tau \qquad (2.8)$$

Из первого уравнения (2.2) п (2.8) получим интегральное уравнение Абеля

$$\int_{0}^{\infty} \frac{G(s) ds}{V \cosh \alpha - \cosh s} = -V 2 \int_{0}^{\infty} G(s) ds \int_{0}^{\infty} N(z) P_{\frac{1}{2}+i} (\cosh \alpha) \cos z s dz +$$

$$+\sqrt{2}G_{1}(z_{0})\int_{0}^{z_{0}}N(z)P_{-\frac{1}{2}+m}(\cosh z)\cos z_{0}zdz+\alpha f_{2}(z)+$$

$$+\sqrt{2}\int_{0}^{z_{0}}H^{n}(z)dz\int_{0}^{z}N(z)P_{-\frac{1}{2}+m}(\cosh z)\cos z dz \qquad (2.9)$$

Решая интегральное уравнение Абеля (2.9), для определения функции G(s) получим интегральное ураниение Фредгольма иторого рода

$$G(s) = \int_{0}^{\infty} K(s, z) G(z) dz + \Omega(s)$$
 (2.10)

где

$$K(s, z) = \frac{1}{z} \left[\frac{(s+z)/2}{\sinh(s-z)/2} - \frac{(s-z)/2}{\sinh(s-z)/2} \right]$$
 (2.11)

$$Q(s) = -\frac{g(\infty)}{\pi} \frac{d}{ds} \left(\frac{s}{\cosh 2} \right) - \frac{G_1(a_0)}{\pi^2} \left(\frac{(s - a_0)/2}{\sinh (s + a_0)/2} + \frac{G_1(a_0)}{\sinh (s + a_0)/2} \right)$$

$$\frac{(s-z_0)/2}{\sinh(s-z_0) 2} = \left[\frac{(s+z)/2}{\sinh(s-z)/2} - \frac{(s-z)/2}{\sinh(s-z)/2} \right] = (2.12)$$

При этом были использованы равенство

$$\sqrt{2}\cos^2 s = \frac{d}{ds} \sqrt{\frac{P_{-1} - (\cosh z) \sinh dz}{|\cosh z - \cosh z|}}$$
 (2.13)

и значения интегралов

Так как ядро интегрального уравнения (2.10) симметрично и четно относительно сноих аргументов и свободный член также четный, то, продолжая функцию G(s) четно в интервале (— a_c , 0), интегральное уравнение приведем к виду

$$G(s) = \int K_1(s-z) G(z) dz + 2(s)$$
 (2.15)

$$K_1(x) = \frac{1}{\pi^2} \frac{x/2}{\sinh x}$$
 (2.16)

Чтобы решить интегральное уравнение (2.15) методом последовательных приближений, докажем, что

$$\int_{-a_0}^{a_0} |K_1(s-z)| dz < 1$$
 (2.17)

Действительно,

$$\int_{a_0}^{a_2} |K_1(s-z)| dz = \frac{1}{\pi^2} \int_{-a_0}^{a_2} \frac{(s-z)/2}{\sinh \frac{s-z}{2}} dz < \frac{1}{\pi^2} \int_{-\infty}^{\infty} \frac{x}{\sinh x} dx = \frac{1}{\pi^2} \frac{\pi^2}{2} = \frac{1}{2}$$

Следовательно, уравнение (2.15) можно решить методом последовательных приближений, после чего нетрудно пайти функции A(z) и B(z) посредством кнадратуры, а следовательно, напряжения и перемещения в любой точке полупространства.

Решение интегрального уравнения (2.15) выражается через постоянную $G_1(\mathfrak{a}_0)$, так как спободный член интегрального уравнения (2.12) содержит эту постоянную. Подставляя найденное решение в первое выражение (2.5) и принимая $s=\mathfrak{a}_0$, получим линейное уравнение относительно $G_1(\mathfrak{a}_0)$, откуда и определяется эта постоянная.

Нормальное напряжение G(r, 0) под штампом, выраженное через функцию G(z), имеет вид

$$=\frac{ch x + 1}{b} \frac{\partial \Phi}{\partial \beta} \Big|_{a} = -\frac{2Gg(\infty)}{\pi b (1 - v)} ch \frac{\alpha}{2} - \frac{1}{\pi b (1 - v)}$$

$$= \frac{GG_1(\alpha_0)}{\pi^2 b (1 - v)} \frac{2}{\sqrt{\cosh \alpha - \cosh \alpha_0}} \operatorname{arctg} \Big|_{a} \frac{1 + \cosh \alpha}{\cosh \alpha - \cosh \alpha_0}$$

$$= \frac{2G}{\pi^2 b (1 - v)} \int_{a} \frac{G(s)}{\sqrt{\cosh \alpha - \cosh s}} \operatorname{arctg} \Big|_{a} \frac{1 + \cosh \alpha}{\cosh \alpha - \cosh s} ds + \frac{2G}{\pi^2 b (1 - v)} \int_{a} \frac{H''(s)}{\sqrt{\cosh \alpha - \cosh s}} \operatorname{arctg} \Big|_{a} \frac{1 + \cosh \alpha}{\cosh \alpha - \cosh s} ds - \frac{2G}{\pi^2 b (1 - v)} \int_{a} \frac{H''(s)}{\sqrt{\cosh \alpha - \cosh \alpha}} \ln \frac{v \cosh s + 1 + v \cosh s - \cosh \alpha}{v \cosh \alpha + 1} ds - \frac{2G}{\pi^2 b (1 - v)} \int_{a} \frac{H'''(s)}{\sqrt{\cosh s - \cosh \alpha}} \ln \frac{v \cosh s + 1 + v \cosh s - \cosh \alpha}{v \cosh \alpha + 1} ds - \frac{2G}{\sqrt{\cosh \alpha + 1}} \int_{a} \frac{H'''(s)}{\cosh \alpha + 1} \ln \frac{v \cosh s + 1 + v \cosh s - \cosh \alpha}{v \cosh \alpha + 1} ds - \frac{2G}{\sqrt{\cosh \alpha + 1}} \int_{a} \frac{H'''(s)}{\cosh \alpha + 1} \ln \frac{v \cosh s + 1 + v \cosh s - \cosh \alpha}{v \cosh \alpha + 1} ds - \frac{2G}{\sqrt{\cosh \alpha + 1}} \int_{a} \frac{H'''(s)}{\sqrt{\cosh s - \cosh \alpha}} \ln \frac{v \cosh s + 1 + v \cosh s - \cosh \alpha}{v \cosh \alpha + 1} ds - \frac{2G}{\sqrt{\cosh \alpha + 1}} \int_{a} \frac{H'''(s)}{\cosh \alpha + 1} \ln \frac{v \cosh s + 1 + v \cosh \alpha}{v \cosh \alpha + 1} ds - \frac{2G}{\cosh \alpha + 1} \int_{a} \frac{H'''(s)}{\cosh \alpha + 1} \ln \frac{v \cosh s + 1 + v \cosh \alpha}{v \cosh \alpha + 1} ds - \frac{2G}{\cosh \alpha + 1} \int_{a} \frac{H'''(s)}{\cosh \alpha + 1} \ln \frac{v \cosh s + 1 + v \cosh \alpha}{v \cosh \alpha + 1} ds - \frac{2G}{\cosh \alpha + 1} \int_{a} \frac{H'''(s)}{\cosh \alpha + 1} \ln \frac{v \cosh s + 1 + v \cosh \alpha}{v \cosh \alpha + 1} ds - \frac{2G}{\cosh \alpha + 1} \int_{a} \frac{H'''(s)}{\cosh \alpha + 1} \ln \frac{v \cosh \alpha}{v \cosh \alpha + 1} ds - \frac{2G}{\cosh \alpha + 1} \int_{a} \frac{H'''(s)}{\cosh \alpha + 1} \ln \frac{v \cosh \alpha}{v \cosh \alpha + 1} ds - \frac{2G}{\cosh \alpha + 1} \int_{a} \frac{H'''(s)}{\cosh \alpha + 1} \ln \frac{v \cosh \alpha}{v \cosh \alpha + 1} ds - \frac{2G}{\cosh \alpha + 1} \int_{a} \frac{H'''(s)}{\cosh \alpha + 1} \ln \frac{v \cosh \alpha}{v \cosh \alpha + 1} ds - \frac{2G}{\cosh \alpha + 1} \int_{a} \frac{H'''(s)}{\cosh \alpha + 1} ds - \frac{2G}{\cosh \alpha + 1} \int_{a} \frac{H'''(s)}{\cosh \alpha + 1} ds - \frac{2G}{\cosh \alpha + 1} \int_{a} \frac{H'''(s)}{\cosh \alpha + 1} ds - \frac{2G}{\cosh \alpha + 1} \int_{a} \frac{H'''(s)}{\cosh \alpha + 1} ds - \frac{2G}{\cosh \alpha + 1} \int_{a} \frac{H'''(s)}{\cosh \alpha + 1} ds - \frac{2G}{\cosh \alpha + 1} \int_{a} \frac{H'''(s)}{\cosh \alpha + 1} ds - \frac{2G}{\cosh \alpha + 1} \int_{a} \frac{H'''(s)}{\cosh \alpha + 1} ds - \frac{2G}{\cosh \alpha + 1} \int_{a} \frac{H'''(s)}{\cosh \alpha + 1} ds - \frac{2G}{\cosh \alpha + 1} \int_{a} \frac{1}{\cosh \alpha + 1} ds - \frac{2G}{\cosh \alpha + 1} \int_{a} \frac{1}{\cosh \alpha + 1} ds - \frac{2G}{\cosh \alpha + 1} \int_{a} \frac{1}{\cosh \alpha + 1} ds - \frac{2G}{\cosh \alpha + 1} \int_{a} \frac{1}{\cosh \alpha + 1} ds - \frac{2G}{\cosh \alpha + 1} \int_{a} \frac{1}{\cosh \alpha + 1} ds - \frac{2G}{\cosh \alpha + 1} \int_{a} \frac{1}{\cosh \alpha + 1} ds - \frac$$

При втом были использонаны формула (2.7) и значения интеграла

$$\int \frac{P_{\perp}(\operatorname{ch}\alpha)\cos s}{\operatorname{ch}\alpha} dz = \frac{\sqrt{2}}{\operatorname{ch}\alpha - \operatorname{ch}s} \operatorname{arctg} \left[\frac{\operatorname{ch}\alpha - \operatorname{ch}s}{1 + \operatorname{ch}\alpha} (s < \alpha) + \operatorname{ch}s - \operatorname{ch}s \right] \left[\frac{2}{\pi | \operatorname{ch}s - \operatorname{ch}s} \ln \frac{|\operatorname{ch}s + 1| + |\operatorname{ch}s - \operatorname{ch}s|}{1 + \operatorname{ch}s - \operatorname{ch}s} (\alpha < s) \right]$$

$$= \frac{\sqrt{2}}{\pi | \operatorname{ch}s - \operatorname{ch}s} \ln \frac{|\operatorname{ch}s + 1| + |\operatorname{ch}s - \operatorname{ch}s|}{1 + \operatorname{ch}s - \operatorname{ch}s} (\alpha < s)$$

Нормальное перемещение вне штампа выражается через функцию $G_1(s)$ следующими формулами:

$$u_{z}(r, 0) |_{\beta=0} = g(\alpha) + \frac{1 + \frac{1}{\cosh \alpha + 1}}{\sqrt{\frac{\cosh \alpha + \cosh \alpha}{\cosh \alpha}}} = 0 \quad \alpha = \alpha \quad (2.20)$$

$$u_{z}(r, 0) |_{\alpha} = \frac{2g(\alpha)}{\sqrt{\cosh \alpha + \cosh \alpha}} \arctan \frac{1}{2} + \frac{2\sqrt{2}}{\sqrt{\cosh \alpha + \cosh \alpha}} \sinh \frac{2\pi}{\sqrt{\cosh \alpha + 1}} + \frac{2\sqrt{2}}{\sqrt{\cosh \alpha + \cosh \alpha}} \sinh \frac{2\pi}{\sqrt{\cosh \alpha + 1}} \ln \frac{\sqrt{\cosh \alpha + \cosh \alpha} + 1}{\sqrt{\cosh \alpha + 1}} ds - \frac{2\sqrt{2}}{\sqrt{\cosh \alpha + \cosh \alpha}} \sinh \frac{2\pi}{\sqrt{\cosh \alpha + \cosh \alpha}} \ln \frac{\sqrt{\cosh \alpha + \cosh \alpha} + 1}{\sqrt{\cosh \alpha + 1}} ds \quad (2.21)$$

Здесь использованы преобразования Абеля, формула (2.6) и значения интеграла

$$\int_{0}^{\frac{1}{\cosh x}} \frac{\cosh x}{\cosh x} \frac{(\cosh x)}{\sinh x} \sin x s dx$$

$$\frac{\sqrt{2}}{\frac{1}{\sinh x} + \cosh x} \ln \frac{\sqrt{\cosh x} - \cosh x}{\sqrt{\cosh x} + 1} + \frac{(2.22)}{\cosh x}$$

В частном случае, подставляя a=0 ($a_0=0$), получим задачу о давлении жесткого штампа с произвольным основанием, имеющего в плане форму круга, на упругое полупространство, рассмотренную в работах многих авторов. В этом случае $G_1(a_0)=0$ и интегральное уравнение (2.15) отпадает, а неизвестная функция приравнивается снободному члему (2.12). Следовательно, решение этой задачи получается п замкнутом виде и совпадает с решением Я. С. Уфлянда [9].

Если в этом частном случае положим и g(a) = b = const (штами с плоским основанием), то будем иметь

$$H(s) = C(\tau) = 0$$

$$G(s) = -\frac{a}{\pi} \frac{d}{ds} \left(\frac{s}{\cosh 2}\right) \qquad A(\tau) = \frac{1/2 a}{\cosh 2}$$

$$\Phi(a, \beta) = \frac{2G\lambda}{\pi (1 - \nu)} \operatorname{arctg} \left(\frac{\cosh 2 + \cos \rho}{1 - \cos \lambda}\right)$$

$$z_{z}(r, 0) = -\frac{2G\lambda}{\pi b (1 - \nu)} \cosh 2/2$$

$$u_{z}(r, 0) = \frac{2\lambda}{\pi b \cosh 2} \operatorname{arctg} \sinh 2/2, \qquad P = 4 \frac{Ghh}{1 - \lambda}$$

т. е. решение, полученное ранее Я. С. Уфляндом [9].

§ 3. В качестве примера рассмотрим задачу вданливания жесткого кольценого штампа с плоским основанием в упругое полупространство. В этом случае $g(\alpha) = \alpha = \text{const.} f_2(\alpha) = 0$, и формула (2.5) дает H(s) = 0.

Следовательно, и свободном члене (2.12) интегрального уравнения (2.10) последний член исчезает. Решения интегрального уравнения (2.10) в этом случае ищем в виде

$$G(s) = A \cosh s + B/\cosh s = C(1 - \sinh^2 s)/\cosh^2 s$$
 (3.1)

где A, B, C — постоянные, значения которых при различных отношениях $\varepsilon = a/b$ приведены в табл. 1.

	Таблица /		
1	0.25	0.5	0.75
A	0.0108	-0.0333	0.0738
В	0.0012	0.0552	-0.3941
С	-0.0866	-0.1321	0.1758
Относитель- ная погреш- ность	0.11 %	0.31 %	0.55 %

При замене решения интегрального уравнения (2.10) функцией (3.1), как видно из табл. 1, максимальная погрешность не превышает 0.6 $^{\rm o}/_{\rm o}$.

Из (2.5) имеем

$$G_1(s) \circ = A \sin s - B \tan s + C \tan s \cosh s$$
 (3.2)

Далее из (2.18), (2.20) и (2.21) находим

$$\sigma_z(r, 0) = -\frac{2G^2}{-b(1-v)} \left[ch^{\frac{2}{3}} - \frac{1}{2} - \frac{1}{2$$

$$-\frac{A \operatorname{sh} \alpha_{0} + B \operatorname{th} \alpha_{0} + C \operatorname{th} \alpha_{0} / \operatorname{ch} \alpha_{0}}{\pi V \operatorname{ch} \alpha - \operatorname{ch} \alpha_{0}} + \frac{1}{\pi V \operatorname{ch} \alpha_{0} - \operatorname{ch} \alpha_{0}} + \frac{C}{\operatorname{ch} \alpha - \operatorname{ch} \alpha_{0}} + \frac{C}{\operatorname{ch} \alpha_{0}} + \frac{C}{\operatorname{ch} \alpha - \operatorname{ch} \alpha_{0}} + \frac{C}{\operatorname{ch} \alpha_{0}} + \frac{C}{\operatorname{ch$$

Сила, вдавливающая штами в упругое полупространство, определяется формулой

$$P = -2\pi \int_{a}^{b} \sigma_{z}(r, 0) r dr = -2\pi b^{2} \int_{a}^{\infty} \frac{(r, 0) \sin \alpha d\alpha}{(\cosh \alpha + 1)^{2}}$$
 (3.6)

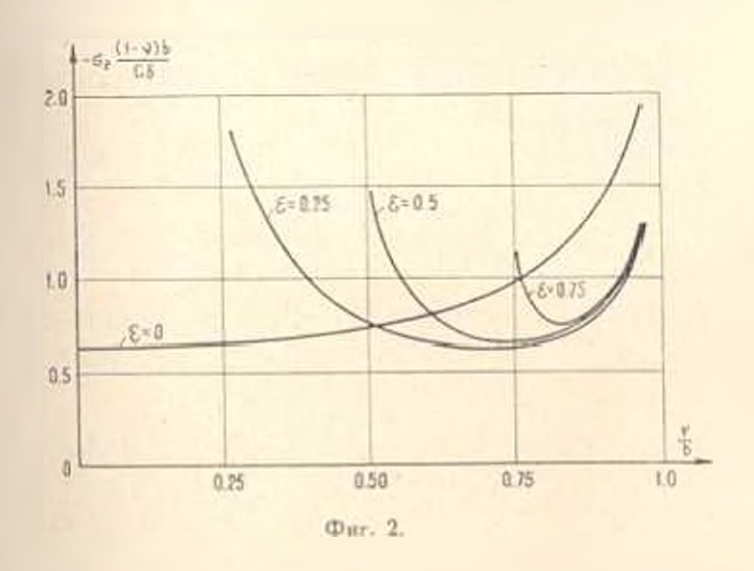
Некоторые значения напряжения $z_{-}(r, 0)$ и перемещения $u_{-}(r, 0)$, пычисленные по формулам (3.3)—(3.5) для различных точек границы

Таблица 2 — == (r, 0) K					
, "	0.25	0.5	0.75		
(7a-b)/8	1,2515	0.9841	0.8643		
(3a - b)/4	0.8757	0.7563	0.7523		
(5a 3b) 8	0.7219	0.6744	0.7330		
$(a \cdot b)/2$	0.6491	0.6494	0.7575		
(3a 5b)/8	0.6302	0.6667	0.8250		
(a3b)-4	0.6615	0.7413	0.9650		
(a+7b)/8	0.8224	0.9661	1.3052		
	1				

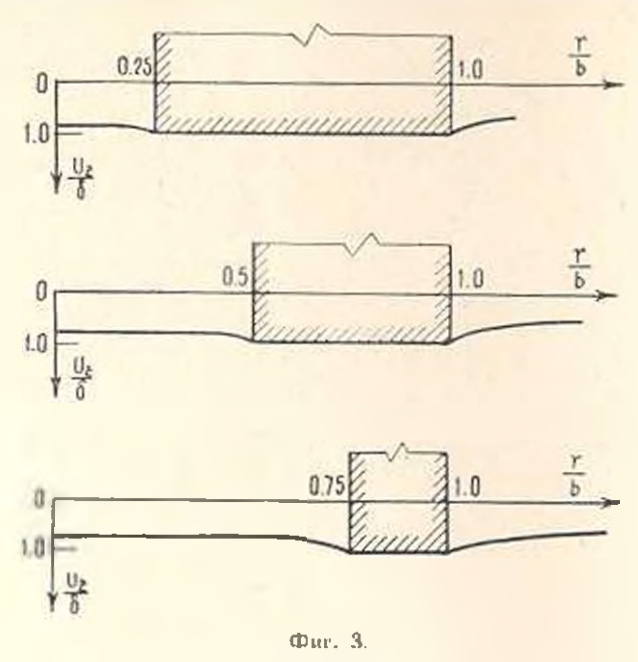
полупространства в зависимости от т. приведены в табл. 2 и 3. В втих таблицах напряжения $z_s(r,0)$ приведены в долях $K = G_0/b (1-v)$, а перемещения $u_s(r,0) - \varepsilon$ долях

	- t- 0		Габлица Ј	
(r. 0),8				
,	0.25	0.5	0.75	
0	0 9689	0.9397	0.8628	
a/8	0.9690	0,9405	0.8637	
a/4	0.9696	0,9429	0.8665	
3a/8	0.9704	0.9468	0.8721	
a, 2	0.9716	0.9520	0,8814	
5a/8	0.9732	0.9585	0.8958	
3a/4	0.9750	0.9664	0.9170	
7a 8	0.9772	0.9765	0.9470	
a	1.0000	1,0000	1,0000	
Ь	1,0000	1.0000	1.0000	
(a 86) 8	0.8428	0.7795	0.7263	
(a+40).4	0.7805	0.6957	0.6277	
(3a - 8b), 8°	0.7344	0.6359	0.5600	
(a-2b).2	0.6969	0.5888	0.5084	
(50+86) 8	0.6651	0.5462	0.4670	

Для наглядного представления закона распределения нормальных напряжений $u_1(r, 0)$ под штампом и нормальных перемещений $u_1(r, 0)$



пис штампа на фиг. 2 и 3 принедены впюры этих наприжений и перемещений. Далее по формуле (3.6) находим связь между глубиной ндавливания штампа $\frac{7}{2}$ и величиной силы P_{γ} приложенной к штампу.



Для рассмотренных частных случаев эта связь имеет вид

$$(1 - v) P = 4.0000 Gb^n$$
 $\varepsilon = 0$
 $(1 - v) P = 3.8818 Gb^n$ $\varepsilon = 0.25$
 $(1 - v) P = 3.1870 Gb^n$ $\varepsilon = 0.5$
 $(1 - v) P = 2.1627 Gb^n$ $\varepsilon = 0.75$

Институт математики и механики АН Арминской ССР

Поступнав 7 VI 1967

Ա. Հ. ՔԱՔԼՈՏԱՆ, Վ. Ա. ՏՈՆՈՑԱՆ

<u> ՕՂԱԿԱՅԻՆ ԳՐՈՇՄԻ ՃЪՇՈՒՄԸ ԱՌԱՁԳԱԿԱՆ ԿԻՍԱՏԱՐԱԾՈՒԹՅԱՆ ՎՐԱ</u>

ենրկա աշխատան թում դիտարկվում է՝ կոչու օդակային գրոշմի հնշման ինպիրը առաձղական կիստապրածության վրա։ Ենթադրվամ է, որ չվամը գրոշմի և կիտատարածության միջև բացակայում է։ Պարզության համար, ընդունված է նաև, որ կիստապրածության նդրը՝ դրումից դարս. այստ է արտարին աժերից։ Մնդիրը լուծված է առրոնդայ կուրդինատական սիստեւմում և և և ումի նկան և հային փունդիրի ինտեղրայի տես չում է և և ումի ներիայուն գործակիցների որոշումը ընթվել է՝ ըստ և հժանորը

կաժայի ըս ինպերսով իրական արգումենաից ֆանկցիաների, օգալգ» ինտեւգրալ հավասարանների լաժմանը [10—13], «Ձույգ» ինտեղրալ հավասարանների լաժմանը [10—13], «Ձույգ» ինտեղրալ հավասարանների լաժումը ընթվամ է Ֆրեզհոլմի երկրորդ սեռի ինտեզրալ հավասարման լաժմանը։ Մասնավոր դեպքում, ստացված է կոչա շրջանավեն դրումի ճնչման խնդիրը առաձրական կիստարաժայնվան վրա՝ գիտարկված շատ հեղինակների կողմից, Որպես օրինակ, լուժված է՝ կոչա օղակային հայժ հեղում գրույմի ճնչման խնդիրը առաձղական կիստաարաժայնյան վրա։

A. H. BABLOYAN, V. S. TONOYAN

THE PRESSING OF AN ANNULAR PUNCH IN ELASTIC SEMI-SPACE

Summary

The subject of the present paper is the solution of an axially symmetric problem of an annular punch. We consider the problem for which the entire smooth base surface of the punch adheres to the semi-space; we neglect the influence of shear stresses. The problem is solved in the toroidal system of coordinates. Here, the problem can be reduced to dual integral equations with Legendre functions of real arguments with complex index.

The solution of this dual integral equations after some evaluations can be reduced to a single Fredholm integral equation of the second kind. For example, we consider an annular flat-ended punch which penetrates the elastic semi-space to a depth below the level of the undisturbed boundary. The numerical examples are given for three cases: a/b = 0.25, 0.5, 0.75.

ЛИТЕРАТУРА

- 1. Губонко В. С., Моссаковский В. И. Давление осесимистричного кольцевого штампа на упругое полупростроиство. ПММ, т. 24, вып. 2, 1960.
- 2. Губенко В. С. Данасине осссимметричного кольцевого штамив на упругий слой и упругос полупространство. Изв. АН СССР, ОТН, механика и машиностровние, № 3, 1960.
- 3. Аркидьева Ю. О. Задача прок льцевий штами. Доповіді АН УССР, № 3. 1962.
- Егоров К. Е. Вдавдивание в полупространетно штамна с плоской подошной кольцевой формы. Изв. АН СССР, механика и машиностроение, № 5, 1963.
- Olestar Z. Annular punch on clastic semi-space. Archiwum mechaniki stosowanej, vol. 17, No 4, 1965.
- 6. Бородачев Н. М., Бородачева Ф. Н. Вдавливание кольцевого штампа в упругое полупространство. МТТ, № 4, 1966.
- 7. Cooke J. C. Triple integral equations. Quart. J. Mech. and Appl. Math., vol. 16, part 2, 1963.

- 8. Cooke J. C. Some further triple integral equation solution. Proc. Edinburgh Math. Soc., vol. 13, part 4, 1963.
- 9. Уфлянд Я. С. Интегральные преобразования в задачах теории упругости. Изд-во АН СССР, М.-А., 1963.
- Баблоян А. А. Решение некоторых дарных интегральных уравнений. ПММ, т. 28, ями. 6, 1964.
- Руховец А. Н., Уфлянд Я. С. Об одном классе парпых интегральных ураниеинй и их приложениях и теории упругости. IIMM, т. 30, пып. 2, 1966.
- Гринченко В. Т., Улитко А. Ф. Об одной смещанной граничной задаче теплопроводности для полупространства. Ишж. физ. ж., т. 5, вып. 10, 1963.
- 13. Гринченко В. Т., Улитко А. Ф. Растяжение упругого пространства, ослабленного кольцевой трещиной. Прикл. механика, т. 1, вып. 10, 1965.